

ОБЪЕДИНЕННЫЙ
ИНСТИТУТ
ЯДЕРНЫХ
ИССЛЕДОВАНИЙ
ДУБНА



Б-705

Ф/х-74

P2 - 8020

3958/2-74

Т.Д.Блохинцева, Ю.С.Суровцев, Ф.Г.Ткебучава

ЕДИНАЯ ДИСПЕРСИОННАЯ МОДЕЛЬ

ДЛЯ ПРОЦЕССОВ ТИПА ФОТОРОЖДЕНИЯ

Π -МЕЗОНОВ В ОБЛАСТИ Δ (3/2,3/2)-РЕЗОНАНСА

1974

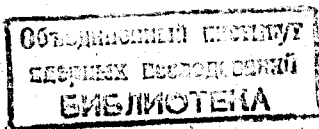
ЛАБОРАТОРИЯ ЯДЕРНЫХ ПРОБЛЕМ

P2 - 8020

Т.Д.Блохинцева, Ю.С.Суровцев, Ф.Г.Ткебучава*

ЕДИНАЯ ДИСПЕРСИОННАЯ МОДЕЛЬ
ДЛЯ ПРОЦЕССОВ ТИПА ФОТОРОЖДЕНИЯ
 Π -МЕЗОНОВ В ОБЛАСТИ Δ (3/2,3/2)-РЕЗОНАНСА

Направлено в ЯФ



* Тбилисский государственный университет

1. ВВЕДЕНИЕ

Рассмотрение процессов

$$\gamma + N \rightarrow \pi + N, \quad (I)$$

$$e + N \rightarrow e + \pi + N, \quad (II)$$

$$\pi + N \rightarrow e^+ + e^- + N \quad (III)$$

в рамках единой модели естественно, поскольку в однофотонном приближении /рис. 1/ эти процессы, согласно T-инвариантности, описываются практически одной и той же амплитудой. Отличие состоит лишь в области изменения λ^2 - квадрата "массы" виртуального фотона. Такое рассмотрение тем более целесообразно, что оно позволяет, на основании имеющихся данных по фоторождению (I) и электророждению (II), судить о некоторых характеристиках значительно менее изученного процесса рождения пар (III). Последний представляет специальный интерес с точки зрения возможности определения электромагнитных формфакторов пионов и нуклонов во времениподобной области ($\lambda^2 > 0$). В этом отношении эксперименты на встречных пучках не могут заменить исследования процесса (III), поскольку области $\lambda^2 < 4m_\pi^2$ и $\lambda^2 < 4M^2$ остаются недоступными в реакциях $e^+e^- \rightarrow \pi^+\pi^-$ и $e^+e^- \rightarrow N\bar{N}$.

Успешное описание процессов (I÷III) при низких энергиях в рамках дисперсионного метода стало возможным благодаря работам /1÷4/. Простая дисперсионная модель /4, 5/, в которой мнимые части инвариантных амплитуд и, следовательно, дисперсионные интегралы для действительных частей определяются мнимой частью резонансной магнитной амплитуды M_{1+} , с точностью примерно 15% описывает фоторождение заряженных π -мезонов. Добиться полного согласия с экспериментальными

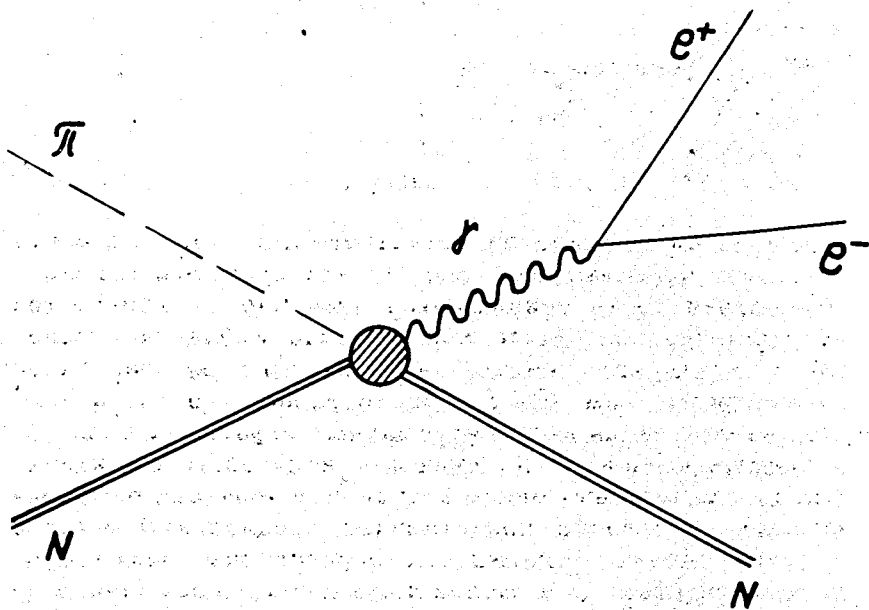


Рис. 1

данными, по-видимому, невозможно без введения параметров, определяемых из эксперимента. Согласно работе ^{16/}, такие параметры необходимо ввести для мультиполей E_{0+} , E_{1+} , M_{1-} в предположении об определенном поведении фаз этих мультиполей при высоких энергиях. Указанные параметры можно рассматривать как константы, эффективно учитывающие высокоэнергетические вклады в процесс при низких энергиях. Такая схема хорошо согласуется с экспериментальными данными; однако приведенный способ введения новых констант нельзя считать единственно возможным. Поэтому вопрос о модельных неопределенностях описания процессов фоторождения в настоящее время остается открытым.

Все трудности, относящиеся к процессам фоторождения, автоматически переносятся на процессы электроорождения (II) и рождения пар (III). Однако процесс (III) характеризуется такими кинематическими свойствами, которые позволяют свести к минимуму модельные неопределенности в области первого резонанса. Эти свойства выгодно отличают процесс рождения пар от фоторождения и электроорождения π^- -мезонов. Они связаны с квазипороговым поведением ^{17/} амплитуды при $k \rightarrow 0$: k -модуль 3-импульса виртуального фотона, которое осуществляется только в процессе (III) для значений массы виртуального фотона, близких к максимально возможному $\lambda_{\max} = W - M / W$ - полная энергия/. В этом случае поперечные мультиполи M_{1+} , E_{1+} , M_{1-} и продольные L_{1+} , L_{1-} стремятся к нулю, поскольку они пропорциональны k . Именно эти мультиполи содержат модельно-зависимые члены. Оставшиеся мультиполи $E_{0+} = L_{0+}$, $E_{2-} = -L_{2-}$ определяются, в основном, борновскими членами ^{17/}, так что описание процесса становится модельно-независимым ^{18/}. В электроорождении k , напротив, растет с увеличением $|\lambda^2|$, и модельные неопределенности амплитуды становятся существенными. Таким образом, при движении вдоль оси λ^2 зависимость описания от модели уменьшается. Это обстоятельство позволяет надеяться на получение неискаженной информации об электромагнитных формфакторах адронов из анализа процесса $\pi + N \rightarrow e^+ + e^- + N$.

Модель, используемая нами, не содержит неизвестных

параметров, кроме формфакторов частиц, и учитывает в дисперсионных интегралах только вклад резонансной магнитной дипольной амплитуды M_{1+} . Изоскалярную часть амплитуды мы берем равной борновской, за исключением $E_{0+}^{(0)}$, которую приравниваем к нулю. В данном случае мы пользуемся результатами мультипольного анализа^{/8,9/} фоторождения, которые показывают, что $E_{0+}^{(0)}$ с ростом энергии уменьшается, в отличие от $E_{0+}^{(0)борн}$, остающейся постоянной. Условие $E_{0+}^{(0)} = 0$ улучшает описание процесса $\gamma p \rightarrow \pi^+ p$ примерно на 10% для больших углов и для $\theta = 180^\circ$ дает согласие с экспериментальными данными вплоть до энергий γ -квантов, равных 750 МэВ в лаб. системе.

Пользуясь аналогией в описании процессов электро-рождения, фоторождения и рождения пар, мы производим вычисления для этих процессов параллельно и сравниваем результаты с имеющимися экспериментальными данными. Детальные расчеты для процесса $\pi^- + p \rightarrow e^+ + e^- + n$ выполнены при полной энергии в с.ц.м. $W = 1296$ МэВ, соответствующей эксперименту, проведенному в Дубне^{/10/}.

Феноменологическое описание процесса $\pi + N \rightarrow e^+ + e^- + N$ было дано в работах^{/11-13/}. Вычисления в изобарной модели были выполнены в работах^{/14-17/}.

2. КИНЕМАТИКА И ДИФФЕРЕНЦИАЛЬНЫЕ СЕЧЕНИЯ

Обозначим через p_1, p_2, q четырехимпульсы нуклонов и π -мезона, через k_1, k_2 - четырехимпульсы электрона и позитрона. Тогда четырехимпульс виртуального γ -кванта $k = k_1 + k_2$ и $\lambda^2 = k_0^2 - k^2$. В нашей метрике во времениподобной области $\lambda^2 > 0$.

Матричный элемент S-матрицы запишем в виде

$$S_{fi} = \delta_{fi} + i(2\pi)^4 \delta(p_2 + k_1 + k_2 - p_1 - q) \times \frac{eM}{\sqrt{2 q_0 p_{10} p_{20} k_{10} k_{20}}} \bar{u}(p_2) T u(p_1) \quad /1/$$

В приближении однофотонного обмена мы можем записать

$$\bar{u}(p_2) T u(p_1) = \epsilon_\mu J_\mu \quad /2/$$

где $\epsilon_\mu = \frac{m_e}{\lambda^2} \bar{u}(k_1) \gamma_\mu v(k_2)$, а J_μ является матричным элементом электромагнитного адронного тока $J_\mu = \langle p_2 | J_\mu(0) | p_1 q \rangle$, m_e - масса электрона. Из сохранения электромагнитных токов адронов и лептонов следует $k_\mu J_\mu = 0$, $k_\mu \epsilon_\mu = 0$.

Матрица T разлагается по структурным коэффициентам M_i и выражается через инвариантные амплитуды $A_i(s, t, \lambda^2)$

$$T = \sum_{i=1}^6 M_i A_i(s, t, \lambda^2) \quad /3/$$

где $s = (p_1 + q)^2$, $t = (k - q)^2$. Следуя работе^{/20/}, выбираем M_i в виде

$$M_1 = \frac{1}{2} i \gamma_5 \gamma_\mu \gamma_\nu F_{\mu\nu}, \quad M_4 = 2 \gamma_5 \gamma_\mu P_\nu F_{\mu\nu} - M M_1 \quad /4/$$

$$M_2 = 2 i \gamma_5 P_\mu q_\nu F_{\mu\nu}, \quad M_5 = i \gamma_5 k_\mu q_\nu F_{\mu\nu}$$

$$M_3 = \gamma_5 \gamma_\mu q_\nu F_{\mu\nu}, \quad M_6 = \gamma_5 k_\mu \gamma_\nu F_{\mu\nu}$$

где $F_{\mu\nu} = \epsilon_\mu k_\nu - \epsilon_\nu k_\mu$, $P = \frac{1}{2} (p_1 + p_2)$. Структуры M_i явно калибровочно инвариантны.

Отметим, что все формулы будут записываться в виде, принятом для процесса электро-рождения. Поскольку по поляризациям нуклонов и лептонов производится суммирование, T-инвариантность позволяет применять полученные формулы для процесса рождения пар без изменений. Меняются только простые кинематические множители в формулах для сечений. Такой подход удобен для выполнения вычислений одновременно для процессов электро-рождения и рождения пар.

Выразим, как обычно, матричный элемент T-матрицы через амплитуды системы ц.м.:

$$\bar{u}(p_2) T u(p_1) = \chi_2^+ F \chi_1$$

где χ_1 и χ_2 - паулиевские спиноры.

$$F = i(\vec{\sigma} \cdot \vec{\epsilon} - \vec{\sigma} \cdot \hat{k} \hat{k} \cdot \vec{\epsilon}) F_1 + \vec{\sigma} \cdot \hat{q} \vec{\sigma} \cdot [\hat{k} \times \vec{\epsilon}] F_2 + \\ + i \vec{\sigma} \cdot \hat{k} (\hat{q} \cdot \vec{\epsilon} - \hat{q} \cdot \hat{k} \hat{k} \cdot \vec{\epsilon}) F_3 + i \vec{\sigma} \cdot \hat{q} (\hat{q} \cdot \vec{\epsilon} - \hat{q} \cdot \hat{k} \hat{k} \cdot \vec{\epsilon}) F_4 + \\ + i \frac{\lambda^2}{k_0} \vec{\sigma} \cdot \hat{k} \hat{k} \cdot \vec{\epsilon} F_5 + i \frac{\lambda^2}{k_0} \vec{\sigma} \cdot \hat{q} \hat{k} \cdot \vec{\epsilon} F_6. \quad /5/$$

Здесь \hat{k} и \hat{q} - единичные векторы. В такой записи очевидно, что $F_{[1,2,3,4]}$ описывают процесс с поперечной поляризованными γ -квантами, а $F_{[5,6]}$ - с продольно поляризованными. Связь амплитуд F_i и A_i дается в *Приложении*.

В изотопическом пространстве F_i /и Λ_i / являются матрицами

$$F_i = \tau_\alpha F_i^{(0)} + \delta_{\alpha 3} F_i^{(+)} \pm \frac{1}{2} [\tau_\alpha, \tau_3] F_i^{(-)}, \quad /6/$$

где положительный знак перед третьим членом относится к процессу $\gamma^* + N \rightarrow \pi + N$, а отрицательный - к $\pi + N \rightarrow \gamma^* + N$ / γ^* - виртуальный фотон/.

Для физических процессов имеем:

$$F_i(\gamma p \rightleftharpoons \pi^+ n) = \sqrt{2}(F_i^{(0)} + F_i^{(-)}), \\ F_i(\gamma n \rightleftharpoons \pi^- p) = \sqrt{2}(F_i^{(0)} - F_i^{(-)}), \quad /7/ \\ F_i(\gamma p \rightleftharpoons \pi^0 p) = F_i^{(0)} + F_i^{(+)}, \\ F_i(\gamma n \rightleftharpoons \pi^0 n) = -F_i^{(0)} + F_i^{(+)}. \quad /8/$$

Дифференциальные сечения процессов электророждения и рождения пар имеют следующий вид:

а/ в случае электророждения /19/

$$\frac{d\sigma}{d\Omega_e^L dk_2^L d\Omega_\pi} = \frac{\alpha}{2\pi^2} \cdot \frac{k_2^L}{k_1^L} \cdot \frac{k_L}{(-\lambda^2)} \cdot \frac{1}{1-\epsilon} \cdot \frac{1}{k} \cdot \frac{1}{4} \times \\ \times [T_1 + \epsilon \cos 2\phi T_2 + \sqrt{-\lambda^2} \sqrt{2\epsilon(\epsilon+1)} \cos \phi T_3 + 2\epsilon(-\lambda^2) T_4], \quad /8/$$

где $\epsilon = (1 - \frac{2k_2^L}{\lambda^2} \text{tg}^2 \frac{\theta_L}{2})^{-1}$; k_1^L , k_2^L - начальная и конечная энергии электрона в лаб. системе; Ω_e^L - телесный угол рассеянного электрона в лаб. системе; θ_L - угол рассеяния электрона в лаб. системе, Ω_π - телесный угол π -мезона в с.ц.м. πN -системы; ϕ - угол между плоскостью реакции $\gamma^* N \rightarrow \pi N$ и плоскостью рассеяния электрона; k_L - импульс γ -кванта в лаб. системе.

б/ в случае рождения пар /11, 12/

$$\frac{d\sigma}{d\Omega_\gamma d\Omega_e d\lambda^2} = \frac{\alpha}{16\pi^2} \cdot \frac{1}{\lambda^2} \cdot \frac{k}{q} \cdot \frac{1}{2} [T_1 \cdot (1 + \cos^2 \theta_e) - \quad /9/$$

$$- \sin^2 \theta_e \cos 2\phi T_2 - \sqrt{\lambda^2} \sin 2\theta_e \cos \phi T_3 + 2 \sin^2 \theta_e \cdot \lambda^2 T_4],$$

где Ω_γ - телесный угол рассеяния γ -кванта в с.ц.м. пиона и нуклона, Ω_e - телесный угол рассеяния электрона в с.ц.м. пары, θ_e - угол между импульсами конечного нуклона и электрона в с.ц.м. пары, ϕ - угол между плоскостью реакции $\pi N \rightarrow \gamma^* N$ и плоскостью $(e^+ e^-)$ -пары. В формулах /8/, /9/ мы пренебрегаем массами лептонов.

Все члены в /8/, /9/ имеют ясный физический смысл; T_1 описывает процессы $\gamma^* N \rightarrow \pi N$ с поперечными неполяризованными γ -квантами и при $\lambda^2 \rightarrow 0$ переходит в квадрат модуля амплитуды реального фоторождения; T_2 соответствует процессам с поперечно поляризованными фотонами, а T_4 - с продольно поляризованными; T_3 описывает интерференцию продольно и поперечно поляризованных фотонов.

Если в процессе рождения пар не фиксируется заряд лептона, то сечение удваивается.

Связь T_i с амплитудами F_i имеет следующий вид:

$$T_1 = \frac{\alpha M^2}{\pi W^2} [|F_1|^2 + |F_2|^2 - 2 \cos \theta \text{Re}(F_1 F_2^*)] + T_2, \\ T_2 = \frac{\alpha M^2}{2\pi W^2} \sin^2 \theta [|F_3|^2 + |F_4|^2 + 2 \text{Re}(F_1 F_4^* + F_2 F_3^* + \cos \theta F_3 F_4^*)], \\ T_3 = \frac{\alpha M^2}{\pi W^2} \sin \theta [(F_2 + F_3 + \cos \theta F_4) F_5^* + (F_1 + F_4 + \cos \theta F_3) F_6^*], \\ T_4 = \frac{\alpha M^2}{2\pi W^2} [|F_5|^2 + |F_6|^2 + 2 \cos \theta \text{Re}(F_5 F_6^*)], \quad /10/$$

где θ - угол рассеяния в реакциях $\gamma^* N \rightarrow \pi N$ в с.ц.м., $\alpha = 1/137$.

3. ДИСПЕРСИОННЫЕ СООТНОШЕНИЯ

Дисперсионные соотношения по s при фиксированном t для изовекторных инвариантных амплитуд имеют вид /20/

$$A_i^{(\pm)}(s, t, \lambda^2) = R_5^{(-)}(t, \lambda^2) + R_i \left(\frac{1}{M^2 - s} \pm \frac{\eta_i}{M^2 - u} \right) + \frac{1}{\pi} \int_{(M+m_\pi)^2}^{\infty} ds' \text{Im} A_i^{(\pm)}(s', t, \lambda^2) \left(\frac{1}{s' - s - i\epsilon} \pm \frac{\eta_i}{s' - u} \right) \quad /11/$$

где η_i определяют перекрестную симметрию амплитуд и равны:

$$\eta_{[1, 2, 4]} = 1, \quad \eta_{[3, 5, 6]} = -1; \quad u = 2M^2 + m_\pi^2 + \lambda^2 - s - t.$$

Первые два члена в /11/ представляют собой борновские части амплитуды, причем $R_5^{(-)}$ относится только к амплитуде $A_5^{(-)}$. Борновская часть удовлетворяет калибровочной инвариантности, поскольку, как было предложено в работе /20/, к матричному элементу электромагнитного тока добавлен член, пропорциональный

$$\frac{F_1^V - F_\pi}{\lambda^2} k_\mu.$$

В формуле /11/ $R_5^{(-)}$ и R_i равны

$$R_5^{(-)} = \frac{2g}{\lambda^2} \left[\frac{F_1^V(\lambda^2)}{t - m_\pi^2 - \lambda^2} - \frac{F_\pi(\lambda^2)}{t - m_\pi^2} \right] \quad /12/$$

$$R_1 = -\frac{g}{2} F_1^V(\lambda^2), \quad R_3 = R_4 = \frac{g}{2} F_2^V(\lambda^2) \quad /13/$$

$$R_2 = \frac{g F_1^V(\lambda^2)}{t - m_\pi^2 - \lambda^2}, \quad R_5 = R_6 = 0.$$

Изоскалярные амплитуды мы берем равными борновским:

$$A_i^{(0)}(s, t, \lambda^2) = R_i^0 \left(\frac{1}{M^2 - s} + \frac{\eta_i}{M^2 - u} \right) \quad /14/$$

$$\text{где } R_1^0 = -\frac{g}{2} F_1^S(\lambda^2), \quad R_3^0 = R_4^0 = \frac{g}{2} F_2^S(\lambda^2),$$

$$R_2^0 = \frac{g F_1^S(\lambda^2)}{t - m_\pi^2 - \lambda^2}, \quad R_5^0 = R_6^0 = 0.$$

В формулах /12/-/14/ $F_1^V, F_2^V, F_1^S, F_2^S$ - изовекторные и изоскалярные формфакторы нуклонов, F_π - формфактор π -мезона, и принята следующая нормировка:

$$F_1^V(0) = F_1^S(0) = F_\pi(0) = 1, \quad /15/$$

$$2MF_2^V(0) = 3,7, \quad 2MF_2^S(0) = -0,12$$

g - перенормированная константа πN -взаимодействия;

$$\frac{g^2}{4\pi} = 14,6.$$

Дисперсионные соотношения /11/ одинаково применимы для пространственно- и времениподобных λ^2 . Во всяком случае, не нужно делать новых предположений для области $\lambda^2 > 0$ по сравнению с областью $\lambda^2 < 0$. Вместе с тем, заметим, что для времениподобных λ^2 при $\lambda^2 > m_\pi^2$ в дисперсионном интеграле появляется нефизическая область $(M + m_\pi)^2 \leq s' < (M + \lambda)^2$. Однако это не вызывает трудностей, поскольку указанный интервал энергий не связан с новыми особенностями по s' .

При $\lambda^2 > 4m_\pi^2$ формфакторы частиц, вообще говоря, комплексны, но это не меняет вида дисперсионных соотношений, поскольку формфакторы входят как множители в амплитудах и выносятся за знак интеграла.

С помощью формул приложения и формул мультипольного разложения амплитуд F_i можно найти связь инвариантных амплитуд с мультипольными амплитудами. Так же, как в работах /4, 5/, мы ограничиваемся вкладом резонансной амплитуды $M_{1+}^{3/2}$ в мнимые части инвариантных амплитуд. При этом учитываем зависимость $M_{1+}^{3/2}$ от λ^2 кинематически и через формфактор.

Для мнимых частей инвариантных амплитуд получаем выражения:

$$\text{Im} A_i^{(\pm)}(s, t, \lambda^2) = \frac{4}{3} \begin{pmatrix} 2 \\ -1 \end{pmatrix} \frac{\pi G_M^V(\lambda^2) \sin^2 \delta_{33}(W)}{g m_\pi q^3 [(W + M)^2 - \lambda^2]} \cdot a_i, \quad /16/$$

$$\text{где } a_1 = \frac{1}{2} (W+M)(3t - m_\pi^2 - \lambda^2) + \frac{q_0}{2} [(W+M)^2 + \lambda^2],$$

$$a_2 = -\frac{2\lambda^2}{t - m_\pi^2 - \lambda^2} (W+M + \frac{q_0}{2}) - \frac{3}{2} (W+M),$$

$$a_3 = -\frac{W+M}{4W} [(W+M)^2 - m_\pi^2] + \frac{3}{4} (t - m_\pi^2 + \lambda^2),$$

$$a_4 = \frac{3}{4} (t - m_\pi^2 - \lambda^2) + (W+M)(W+M + \frac{q_0}{2}), \quad /17/$$

$$a_5 = 2 \frac{s - M^2}{t - m_\pi^2 - \lambda^2} (W+M + \frac{q_0}{2}) + \frac{3}{2} (W-M),$$

$$a_6 = -\frac{3}{4} (t - m_\pi^2 - \lambda^2) - \frac{q_0}{2} (W+M) - m_\pi^2,$$

$$G_M^V = F_1^V + 2MF_2^V, \quad W = \sqrt{s}.$$

В верхнем пределе интегрирования в /11/ мы ограничиваемся энергией $W = 1,7 \text{ ГэВ}$.

Как видно из формул /12/-/14/ и /17/, в амплитудах A_2 и A_5 имеется кинематическая сингулярность при $t - m_\pi^2 - \lambda^2 = 0$, которая возникает в связи с использованием условия калибровочной инвариантности /подробности см. в работе Адлера/18//. Для процессов электро рождения ($\lambda^2 < 0$) эта сингулярность находится в физической области, а для процессов рождения пар ($\lambda^2 > 0$) - в нефизической области. В обоих случаях необходимо сделать вычитания для устранения сингулярности. В сечениях сингулярность обусловлена выражением $(s-M^2)A_2 + \lambda^2 A_5$. Из условия

$$\lim_{t \rightarrow m_\pi^2 + \lambda^2} (t - m_\pi^2 - \lambda^2) [(s - M^2) A_2 + \lambda^2 A_5] = 0 \quad /18/$$

следует, что для устранения сингулярности необходимо вычесть из $A_5^{(-)}$ величину:

$$\frac{2}{t - m_\pi^2 - \lambda^2} \cdot \frac{1}{\pi} \int_{(M+m_\pi)^2}^{\infty} \frac{ds'}{s' - M^2} \lim_{t \rightarrow m_\pi^2 + \lambda^2} [(t - m_\pi^2 - \lambda^2) A_5^{(-)}(s', t, \lambda^2)]. \quad /19/$$

Заметим, что, как показывают вычисления, в случае процесса рождения пар вычитательный член /19/ слабо влияет на результаты.

Из мультипольного анализа фоторождения /8,9/ следует, что при энергиях выше $\Delta(1236)$ -резонанса изоскалярная дипольная амплитуда $E_{0+}^{(0)}$ быстро убывает и сильно отличается от ее борновского значения. Поэтому при этих энергиях мы берем $E_{0+}^{(0)} = 0$. Поскольку $E_{0+}^{(0)}$ дает вклад только в $F_1^{(0)}$, при расчетах имеем:

$$F_1^{(0)} = F_1^{(0)} \text{борн.} - E_{0+}^{(0)} \text{борн.}, \quad /20/$$

$$F_{[2, \dots, 6]}^{(0)} = F_{[2, \dots, 6]}^{(0)} \text{борн.}$$

где

$$E_{0+} = \frac{1}{2} \int_{-1}^1 dx (F_1 - F_2 x + F_4 \frac{1-x^2}{2}), \quad /21/$$

$x = \cos \theta$.

К такому изменению $E_{0+}^{(0)}$ довольно чувствительно сечение рассеяния на большие углы.

4. РЕЗУЛЬТАТЫ

В этом разделе приводятся результаты вычислений в рассмотренной модели и их сравнение с экспериментальными данными по фоторождению и электро рождению.

На рис. 2 приведены вычисленная функция возбуждения при $\theta = 180^\circ$ и соответствующие экспериментальные данные /21/ для процесса $\gamma + n \rightarrow \pi^- + p$. Теоретическая кривая хорошо описывает эксперимент вплоть до энергий γ -кванта $750 \text{ МэВ} / W \approx 1500 \text{ МэВ}$. Напомним, что модель учитывает только $\Delta(1236)$ -резонанс. Тот факт, что теория согласуется с экспериментом вплоть до $W \approx 1500 \text{ МэВ}$, указывает на подавление при таких энергиях вкладов высших резонансов в сечение рассеяния назад для процесса $\gamma + n \rightarrow \pi^- + p$.

На рис. 3 теоретическое дифференциальное сечение процесса $\gamma n \rightarrow \pi^- p$ при энергии γ -квантов 350 МэВ

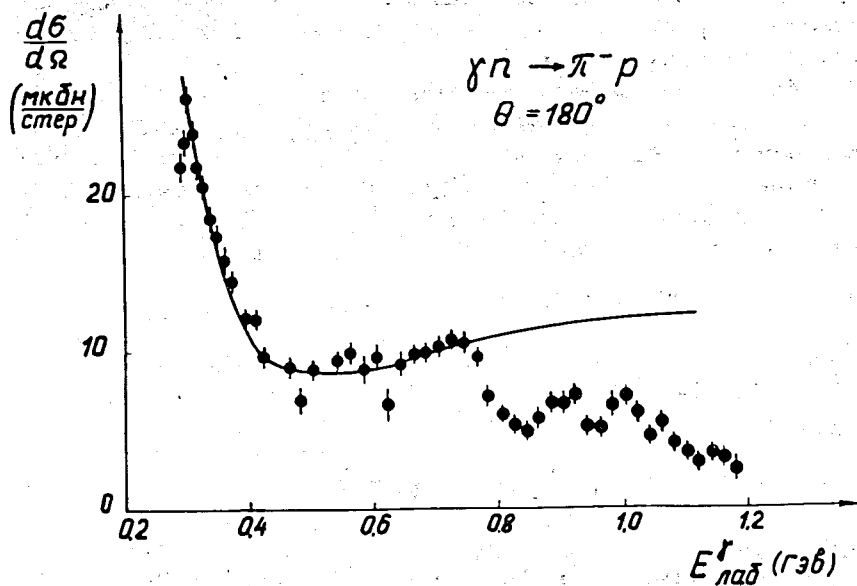


Рис. 2. Сечение рассеяния назад для процесса $\gamma p \rightarrow \pi^- p$. Экспериментальные данные взяты из работы /21/.

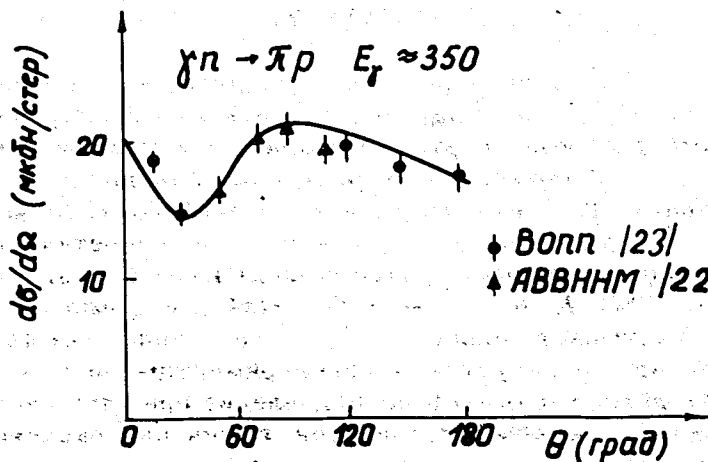


Рис. 3. Дифференциальное сечение процесса $\gamma p \rightarrow \pi^- p$ при энергии γ -квантов 350 МэВ в лаб. системе.

/лаб. система/ сравнивается с данными работ /22, 23/. Кривая хорошо описывает экспериментальные данные.

Были рассчитаны также поперечное (σ_t) и продольное (σ_l) сечения процессов электророжения. При расчете полагалось, что формфакторы удовлетворяют следующим соотношениям:

$$\frac{G_M^p(\lambda^2)}{\mu_p} = \frac{G_M^n(\lambda^2)}{\mu_n} = G_E^p(\lambda^2) = [1 - \lambda^2 / 0,71(\text{ГэВ}/c)^2]^{-2}, \quad /22/$$

$$G_E^n = 0, \quad F_\pi = F_1^{v,*})$$

Результаты расчетов при $\lambda^2 = -5 \text{ fm}^{-2}$ в области энергий $/1,1 \div 1,3/ \text{ ГэВ}$ приведены на рис. 4. Экспериментальные точки взяты из опыта Бэтцнера и др. /26/, в котором регистрировались совместно два процесса: $e p \rightarrow e p^0 p$ и $e p \rightarrow e \pi^+ n$. Модель хорошо согласуется с экспериментальными данными.

На рис. 5, 6 представлены дифференциальные сечения процессов $\pi^- p \rightarrow \gamma^* n$ / γ^* - виртуальный фотон/ при $\lambda^2 = 0,063 / \text{ГэВ}/c^2$ и $W = 1296 \text{ МэВ}$. Для сравнения приведены соответствующие борновские сечения. В случае продольно поляризованных фотонов сечение практически совпадает с борновским. Это объясняется малым вкладом магнитной дипольной амплитуды M_{1+} в дисперсионный интеграл. На языке изобарной модели это соответствует слабому возбуждению $\Delta(1236)$ -изобары продольно поляризованными γ -квантами.

Для демонстрации квазипорогового эффекта вычислялась зависимость величины T_1 ($T_1 \approx d\sigma_T/d\Omega$, формула /9/) и ее борновской части от $\sqrt{|\lambda^2|}$ в процессах $\gamma^* n \approx \pi^- p$. Как и следовало ожидать, для процесса (II) относительный вклад борновских членов увеличивается с ростом λ^2 /при λ_{max}^2 величина T_1 становится борновской/, тогда как в случае электророжения он уменьшается при больших $|\lambda^2|$ /рис. 7/.

В работе /27/ было показано, что в плоскости (W, θ) существуют кривые, вдоль которых сечение фоторождения

* Равенство $F_\pi = F_1^v$ согласуется с результатами работы /24/ и данными по электророжению /25/.

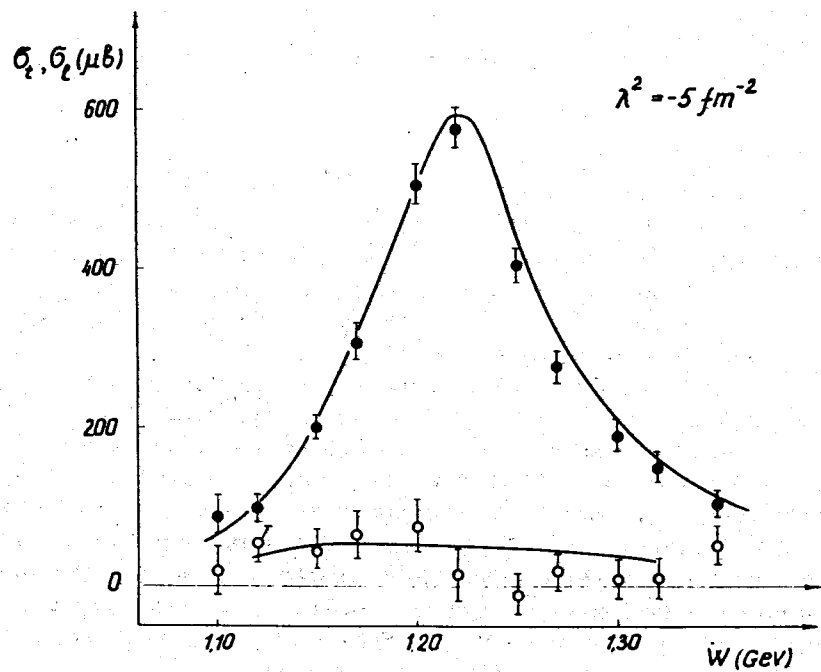


Рис. 4. Электророжение. Сплошные кривые - σ_t и σ_r , вычисленные в данной работе. Экспериментальные точки - из работы ^{126/}.

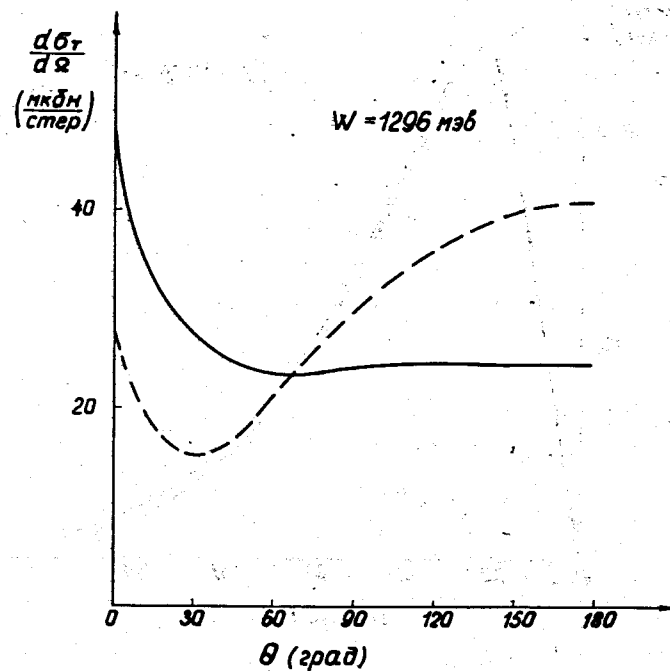


Рис. 5. Дифференциальное сечение процесса $\pi^- p \rightarrow \gamma^* p$ при $\lambda^2 = 0,063 \text{ ГэВ}/\text{с}/^2$ и $W = 1296 \text{ МэВ}$. Поперечная часть. Пунктирная кривая - соответствующее борновское сечение.

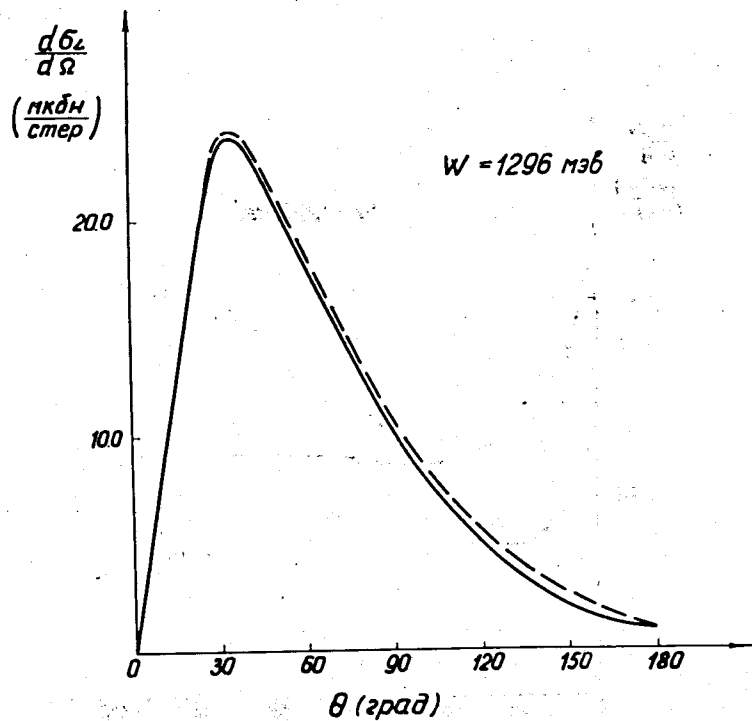


Рис. 6. Дифференциальное сечение процесса $\pi^- p \rightarrow \gamma^* n$ при $\lambda^2 = 0,063$ /ГэВ/с/² и $W = 1296$ МэВ для продольно поляризованных фотонов. Пунктирная кривая - борновское сечение.

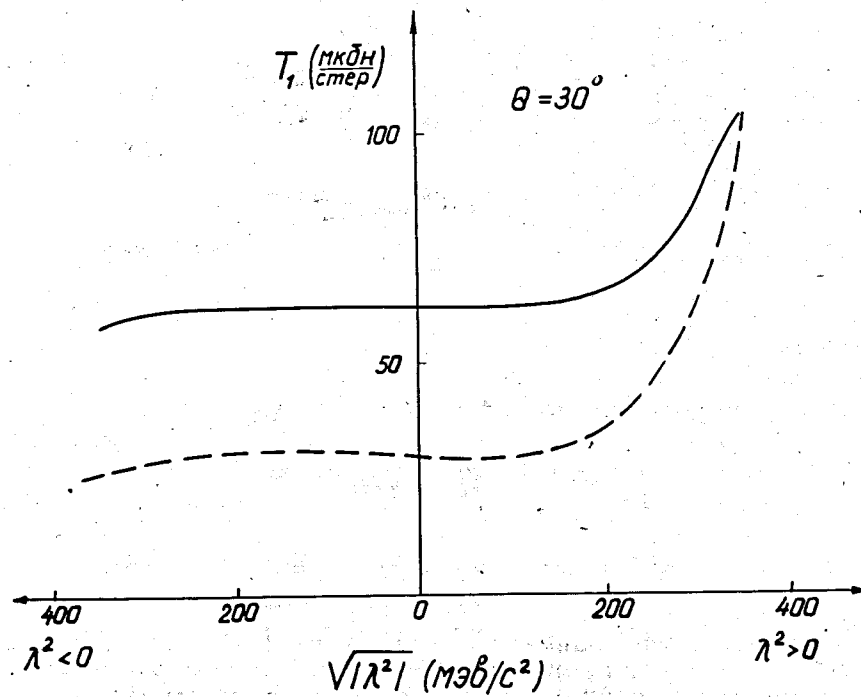


Рис. 7. Иллюстрация квазипорогового поведения $T_1/\text{см. текст}$. Сплошная кривая - расчет по модели. Пунктирная кривая - борновская часть.

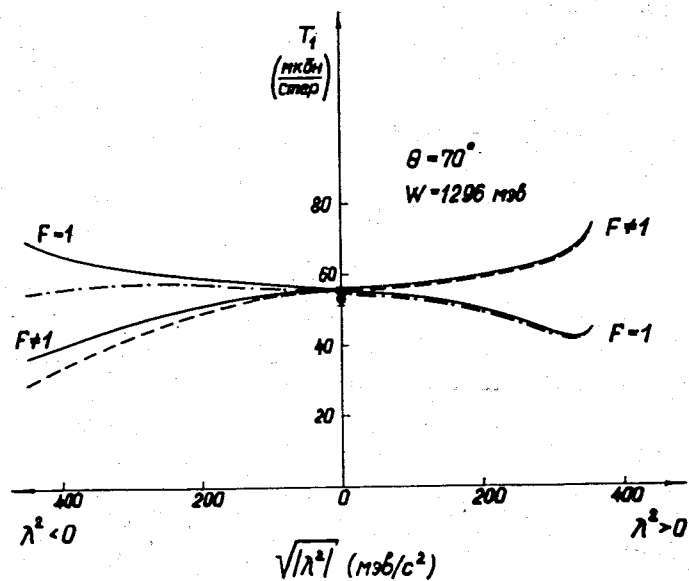


Рис. 8. Иллюстрация эффекта компенсации в процессах $\gamma^* p \rightarrow \pi^- p$ /см. текст/. Сплошные кривые рассчитаны по модели в предположении о точечности частиц ($F=1$) и о дипольной зависимости формфакторов от λ^2 ($F \neq 1$). Пунктирная и штрих-пунктирная кривые - соответствующие борновские величины.

ния является борновским ввиду взаимной компенсации вкладов перерасеяния и их интерференции с борновскими членами. Чтобы посмотреть, сохраняется ли этот эффект при $\lambda^2 \neq 0$, была вычислена зависимость поперечного сечения $d\sigma_T / d\Omega$ от λ^2 для $W = 1296$ МэВ и $\theta = 70^\circ$ /при этих значениях имеет место компенсация в процессе $\gamma p \rightarrow \pi^- p$ /. Соответствующие кривые $T_1(\lambda^2)$ представлены на рис. 8. Вычисления проводились в двух различных предположениях:

- 1/ частицы рассматривались как точечные /кривая "F=1"/;
- 2/ зависимость формфакторов от λ^2 учитывалась согласно дипольной формуле /кривая "F ≠ 1"/.

Видно, что для процесса (III) эффект компенсации сохраняется при всех значениях λ^2 , тогда как в электро рождении отличие от борновского сечения становится заметным при $\sqrt{|\lambda^2|} \geq 200$ МэВ/с. Кроме того, сравнение кривых "F=1" и "F ≠ 1" показывает, что при $|\lambda^2| \geq 0,04$ (ГэВ/с)² отчетливо проявляется электромагнитная структура частиц. Таким образом, анализируя процесс рождения пар при определенных кинематических условиях, можно, по-видимому, получить достоверную информацию о формфакторах адронов.

Авторы считают своим приятным долгом поблагодарить В.А.Мещерякова и Л.Л.Неменова за полезные обсуждения.

ПРИЛОЖЕНИЕ

Связь амплитуд F_i с инвариантными амплитудами A_i имеет следующий вид:

$$F_1 = [(W+M)^2 - \lambda^2]^{1/2} [(W+M)^2 - m_\pi^2]^{1/2} \cdot \frac{1}{4MW} [(W-M) A_1 - \frac{1}{2}(t - m_\pi^2 - \lambda^2)(A_3 - A_4) + (W-M)^2 A_4 - \lambda^2 A_6],$$

$$F_3 = [(W-M)^2 - \lambda^2]^{1/2} [(W-M)^2 - m_\pi^2]^{1/2} \cdot \frac{(W+M)^2 - m_\pi^2}{8MW^2} \times$$

$$\times [(s - M^2) A_2 + (W+M)(A_3 - A_4) + \lambda^2 A_5],$$

$$F_5 = \frac{1}{4MW} \left[\frac{(W+M)^2 - m_\pi^2}{(W+M)^2 - \lambda^2} \right]^{1/2} \left\{ \frac{1}{2}(t - m_\pi^2 - \lambda^2) [(3s + M^2 - \lambda^2) A_2 + \right. \\ \left. + 2W(A_3 - A_4) + (s - M^2 + \lambda^2) A_5] + [(W+M)^2 - \lambda^2] [A_1 + \right. \\ \left. + (W-M)(A_4 - A_6)] + (s - M^2 + m_\pi^2) [(s - M^2) A_2 + \right. \\ \left. + (W+M)(A_3 - A_4) + \lambda^2 A_5] \right\}.$$

Формулы для $F_{[2,4,6]}$ получаются с помощью формальной замены $W \rightarrow -W$:

$$F_2(W) = -F_1(-W), F_4(W) = -F_3(-W), F_6(W) = F_5(-W).$$

Литература

1. G.F.Chew, M.L.Goldberger, F.E.Low, Y.Nambu. *Phys.Rev.*, 106, 1345, (1957).
2. A.A.Loqunov, A.N.Tavkhelidze, L.D.Solovyan. *Nucl.Phys.*, 4, 427, 1957.
3. А.М.Балдин. *ЖЭТФ*, 38, 579, 1960.
A.M.Baldin, A.I.Lebedev. *Nucl.Phys.*, 40, 44, 1963.
4. J.S.Ball. *Phys.Rev.*, 124, 2014, 1961.
5. W.Schmidt. *Zs.Phys.*, 182, 76, 1964.
6. D.Schwela, R.Weizel. *Zs.Phys.*, 221, 71, 1969.
7. Ю.С.Суровцев, Ф.Г.Ткебучава. *ЯФ*, -16, 1204, 1972.
8. W.Pfeil, D.Schwela. *Nucl.Phys.*, B45, 379, 1972.
9. Yu.M.Aleksandrov, V.F.Grushin, E.M.Leikin, A.Ya.Rotvain. *Nucl.Phys.*, B45, 589, 1972.
10. С.Ф.Бережнев, А.В.Демьянов, А.В.Куликов и др. *ЯФ*, 18, 102, 1973.
11. R.J.Oakes. *Nuovo Cim.*, 44A, 440, 1966.
12. Ю.С.Суровцев, Ф.Г.Ткебучава. *ОИЯИ*, P2-4561, P2-4524, Дубна, 1969.
13. В.А.Матвеев, Р.М.Мурадян, А.Н.Тавхелидзе. *ЭЧАЯ*, 2, 5, 1971.
14. А.В.Тарасов, Л.Г.Ткачев. *ОИЯИ*, P2-4970, Дубна, 1970.
15. M.Karatchentzeff, G.Cochard, P.Kessler, B.Roehner. *Collège de France, P.A.M.*, 71-05, 1971.
16. Ю.В.Кулиш. *ЯФ*, 16, 1102, 1972.
17. Г.И.Смирнов, Н.М.Шумейко. *ЯФ*, 17, 1266, 1973.
18. S.L.Adler. *Ann.Phys.*, 50, 189, 1968.
19. M.Gourdin. *Nuovo Cim.*, 21, 1094, 1961.
C.W.Akerlof, W.W.Ash, K.Berkelman et al. *Phys.Rev.*, 163, 1482, 1967.

20. S.Fubini, Y.Nambu, V.Watagin. *Phys.Rev.*, III, 329, 1958.
21. T.Fujii et al. *Phys.Rev.Lett.*, 26, 1672, 1971.
22. P.Benz et al. *Int. Symp. on Electron and Photon Interactions at High Energies, Cornell University (August, 1971)*.
23. G. von Holtey et al. *Phys.Lett.*, 40B, 589, 1972.
24. S.Dubnicka, V.A.Meshcheryakov. *JINR, E2-7508, Dubna, 1973*.
25. C.N.Brown et al. *Phys.Rev.*, D8, 92, 1973.
26. K.Bätzner et al. *Phys.Lett.*, 39B, 575, 1972.
27. Yu.S.Surovtsev, F.G.Tkebuchava. *JINR, E2-8018, Dubna, 1974*.
28. A.Bietti, S.Petrarca. *Ist. Fis. G. Marconi, N.541, Roma, 1974*.

Рукопись поступила в издательский отдел
14 июня 1974 года.